

Chp. 6. Algorithmes de gradient

Avertissement! Dans tout ce chapitre, Ω désigne un ouvert de \mathbb{R}^n , et f une fonction de classe \mathcal{C}^1 sur Ω .

6.1 Algorithme de gradient à pas fixe

L'algorithme du gradient à pas fixe est une méthode de descente utilisant un pas fixe et la stratégie de Cauchy pour le choix de la direction de descente :

```
GradFix( $f, x_0, \text{pas}, \text{tolerance}$ )  
 $x \leftarrow x_0$   
Tant que :  $\|\nabla f(x)\| > \text{tolerance}$   
     $x \leftarrow x - \text{pas} \star \nabla f(x)$   
Retourner  $x$ 
```

6.2 Théorème de convergence

Théorème 6.1

Supposons vérifiées les hypothèses (H_1) à (H_3) suivantes :

(H_1) $S_0 = \{x \in A \mid f(x) \leq f(x_0)\}$ est un fermé de \mathbb{R}^n strictement contenu dans Ω .

(H_2) f est \mathcal{C}^2 sur Ω et, pour tout x dans S_0 : $0 < cId \leq \nabla^2 f(x) \leq KId$

(H_3) $0 < \text{pas} < 2/K$

Alors l'algorithme **GradFix** converge vers un minimum local non dégénéré x^* de f dans Ω . On établit en outre les propriétés suivantes :

- La suite $f_k = f(x_k)$ des valeurs du critère aux points x_k calculés par l'algorithme est strictement décroissante.
- Pour tout indice $k \geq 0$, l'intervalle $[x_k, x_{k+1}]$ reste tout entier contenu dans l'ensemble : $S_k = \{x \in \Omega \mid f(x) \leq f(x_k)\}$ de niveau $f(x_k)$ de f .
- $\|x_0 - x^*\| \leq c^{-1} \|\nabla f(x_0)\|$

La dernière propriété garantit en particulier que le dernier point x_k calculé par l'algorithme vérifie :

$$\|x_k - x^*\| \leq c^{-1} \text{tolerance}$$

La démonstration de ce théorème fait l'objet du paragraphe 6.4 suivant.

Corollaire 6.2 *Si α est un niveau non critique de f tel que :*

(H'_1) *L'ensemble : $S_\alpha = \{x \in \Omega \mid f(x) \leq \alpha\}$ est non vide et compact.*

(H'_2) *$\nabla^2 f(x)$ est D.P. en tout point x de l'intérieur $\overset{\circ}{S}_\alpha = \{x \in \Omega \mid f(x) < \alpha\}$ de S_α .*

alors l'algorithme GradFix converge pour toute initialisation x_0 dans S_α et tout pas suffisamment petit vers un minimum local non dégénéré de f .

Preuve :

- Si $f(x_0) < \alpha$, $S_0 = \{x \in \Omega \mid f(x) \leq f(x_0)\}$ est un fermé de \mathbb{R}^n contenu dans S_α . C'est donc un compact, et, par continuité du Hessian, il existe des constantes c et K telles qu'en tout point de S_0 : $0 < c Id \leq \nabla^2 f(x) \leq K Id$. Ainsi les hypothèses (H_1) et (H_2) du théorème de convergence sont vérifiées.
- Si $f(x_0) = \alpha$, $u_O = -\nabla f(x_0)$ est une direction de descente au point x_0 et le premier point x_1 calculé par l'algorithme vérifiera : $f(x_1) < \alpha$: on est alors ramené au cas précédent.

□

Les hypothèses (H'_1) et (H'_2) du corollaire 6.2 sont en particulier vérifiées dès que S_α est non vide et Ω est un bassin d'ellipticité de f .

Si f est elliptique sur \mathbb{R}^n , elle atteint son minimum en un point unique x^* . L'intérieur de tout ensemble de niveau : $\alpha > f(x^*)$ est un bassin d'ellipticité de f , et l'algorithme converge, pour toute initialisation x_0 , vers x^* , pourvu que le pas soit choisi suffisamment petit :

Exemple 6.1 *La matrice Hessienne de : $f = x^2 + 2y^2$ est la matrice diagonale constante : $Q = \begin{pmatrix} 2 & 0 \\ 0 & 4 \end{pmatrix}$ qui vérifie : $0 < 2 Id \leq Q \leq 4 Id$. L'algorithme GradFix converge donc, pour toute initialisation (x_0, y_0) dans \mathbb{R}^2 vers l'unique minimum $(0, 0)$ de f sur \mathbb{R}^2 dès que le pas choisi est (strictement) inférieur à 0.5.*

6.3 Choix du pas et vitesse de convergence

Lorsque $f = \frac{1}{2} x^T Q x + b^T x + c$ est une fonction quadratique elliptique, sa Hessienne Q est une matrice constante D.P.. La vitesse de convergence de l'algorithme GradFix est alors toujours linéaire, et le taux de convergence est optimal pour :

- $\text{pas} = \frac{2}{c + K}$

où c et K sont respectivement la plus petite et la plus grande des valeurs propres de Q .

Le taux de convergence optimal est :

- $\frac{K - c}{K + c} = \frac{\chi - 1}{\chi + 1}$

où : $\chi = K/c$ est le *conditionnement* de la matrice Q . Lorsque Q est mal conditionnée ($\chi \gg 1$) l'algorithme est lent. Lorsque : $\chi = 1$ au contraire (Q est un multiple de la matrice identité) l'algorithme calcule le minimum cherché en une seule itération.

Lorsque f n'est pas quadratique, mais satisfait les hypothèses (H_1) et (H_2) du théorème 6.1, la démonstration de ce théorème (voir paragraphe 6.4) montre que le taux de convergence reste inférieur à $:\frac{\chi-1}{\chi+1}$, où χ est le conditionnement de la Hessienne de f , calculée au point x^* vers lequel l'algorithme converge. Le cas quadratique montre que cette majoration du taux est optimale.

Attention! *En pratique, on ignore le plus souvent même l'ordre de grandeur des valeurs de c et de K . Si le pas choisi est trop grand, l'algorithme peut diverger. S'il est trop petit, la convergence peut être extrêmement lente :*

Exemple 6.2 *Le tableau suivant donne le nombre d'itérations nécessaires pour approcher le minimum $(0,0)$ de la forme quadratique elliptique $: f = x^2 + 2y^2$ sur \mathbb{R}^2 à 10^{-6} près, à partir de l'initialisation $:(x_0, y_0) = (1,1)$, en fonction du pas choisi :*

pas	0.5	0.45	0.4	0.33	0.1	0.01
	divergence	60	30	13	60	685

Le taux de convergence optimal $1/3$ est obtenu pour un pas égal à $1/3$.

Exemple 6.3 *La Hessienne de la forme quadratique $f = x^2 + 100y^2$ est mal conditionnée $:\chi = 100$. Le taux de convergence optimal est obtenu pour un pas égal à $: 1/101 \simeq 0.0099$. Pour cette valeur du pas, il faut près de 700 itérations pour approcher le minimum $(0,0)$ de f à 10^{-6} près. Si le pas est supérieur à 0.01, l'algorithme diverge.*

6.4 Démonstration du théorème de convergence

Tout point critique de f contenu dans S_0 est nécessairement un minimum local non dégénéré de f . Il suffit donc d'établir qu'étant donné un point non critique x_k ($k \geq 0$) de S_0 , le point $x_{k+1} = x_k - \text{pas} \star \nabla f(x_k)$ est tel que :

$$(1) \quad f_{k+1} < f_k, \quad \text{et} : \quad [x_k, x_{k+1}] \in S_k$$

et, en supposant la suite x_k infinie, qu'elle converge toujours vers un point critique x^* de f .

On commence par établir (1) :

Posons $u_k = -\nabla f(x_k)$, et $:\varphi(t) = f(x_k + t u_k)$. Puisque, par hypothèse $:\varphi'(0) = -\|u_k\|^2 < 0$, $x_k + t u_k$ reste contenu dans S_k pour $t > 0$ suffisamment petit.

Tant que l'intervalle $[x_k, x_k + t u_k]$ reste contenu dans S_k , et donc, a fortiori, dans S_0 , on déduit de la formule de Taylor-Lagrange appliquée à $:\varphi(t) = f(x_k + t u_k)$ sur l'intervalle $[0, t]$:

$$\varphi(t) = \varphi(0) + t \varphi'(0) + \frac{t^2}{2} \varphi''(\theta)$$

où $:\theta \in]0, 1[$, soit :

$$\begin{aligned} f(x_k + T u_k) &= f(x_k) - t \|u_k\|^2 + \frac{t^2}{2} u_k \nabla^2 f(x_k + \theta u_k) u_k \\ &\leq f(x_k) - t \|u_k\|^2 + \frac{t^2}{2} K \|u_k\|^2 \end{aligned}$$

mais le second membre reste strictement inférieur à $f(x_k)$ pour $: 0 < t < 2/K$. L'assertion (1) est donc une conséquence directe de l'hypothèse (H_3) .

Il reste à montrer, en supposant la suite des points x_k calculés par l'algorithme infinie, qu'elle converge vers un point critique x^* de f . Pour cela, on commence par établir les deux lemmes suivants :

Lemme 6.1 *Pour toute $n \times n$ matrice symétrique S vérifiant : $\alpha Id \leq S \leq \beta Id$, et tout vecteur u de \mathbb{R}^n : $\|Su\| \leq \max(|\alpha|, |\beta|) \|u\|$.*

Preuve : Par hypothèse, les valeurs propres de S^2 , qui sont les carrés des valeurs propres de S , sont toutes contenues dans l'intervalle $[0, \gamma^2]$, où : $\gamma = \max(|\alpha|, |\beta|)$.

On en déduit : $\|Su\|^2 = u^T S^T S u \leq \gamma^2 \|u\|^2$, d'où le lemme. □

Lemme 6.2 *Soient g une fonction de classe \mathcal{C}^2 sur un ouvert Ω , et $[x, y]$ un intervalle contenu dans Ω . Si, en tout point z de $[x, y]$: $\alpha Id \leq \nabla^2 g(z) \leq \beta Id$, alors :*

$$\|\nabla g(x) - \nabla g(y)\| \leq \max(|\alpha|, |\beta|) \|x - y\|$$

Preuve : Posons $u = y - x$ et : $\varphi(t) = \|\nabla g(x + tu) - \nabla g(x)\|^2$. On vérifie que φ est dérivable en tout point de $[0, 1]$, et :

$$\varphi'(t) = 2 [\nabla g(x + tu) - \nabla g(x)]^T \nabla^2 g(x + tu) u$$

De l'inégalité de Cauchy-Schwarz, on déduit alors :

$$\forall t \in [0, 1] \quad \varphi'(t) \leq 2 \sqrt{\varphi(t)} \|\nabla^2 g(x + tu) u\|$$

Puisque $\nabla^2 g(x + tu)$ est une matrice symétrique vérifiant, par hypothèse : $\alpha Id \leq \nabla^2 g(x + tu) \leq \beta Id$, le lemme 6.1 implique :

$$\forall t \in [0, 1] \quad \varphi(t) \neq 0 \Rightarrow \frac{\varphi'(t)}{2\sqrt{\varphi(t)}} \leq \max(|\alpha|, |\beta|) \|u\|$$

d'où, en intégrant de 0 à 1 :

$$\|\nabla g(y) - \nabla g(x)\| = \sqrt{\varphi(1)} - \sqrt{\varphi(0)} \leq \max(|\alpha|, |\beta|) \|y - x\|$$

□

On pose alors : $g(x) = \frac{1}{2} \|x\|^2 - \text{pas} \star f(x)$, de sorte que : $\nabla g(x) = Id - \text{pas} \star \nabla f(x)$, et on remarque que g satisfait les hypothèses du lemme 6.2 sur tout intervalle $[x, y]$ contenu dans S_0 avec :

$$\alpha = 1 - \text{pas} \star K, \quad \text{et} : \quad \beta = 1 - \text{pas} \star c$$

En appliquant le lemme 6.2 sur $[x_k, x_{k+1}]$, on déduit :

$$\|x_{k+2} - x_{k+1}\| = \|\nabla g(x_{k+1}) - \nabla g(x_k)\| \leq \gamma \|x_{k+1} - x_k\|$$

où : $\gamma = \max(|1 - \text{pas} \star K|, |1 - \text{pas} \star c|)$, et, par récurrence : $\|x_{k+1} - x_k\| \leq \gamma^k \|x_1 - x_0\|$ pour tout indice $k \geq 0$.

Mais l'hypothèse (H_3) du théorème 6.1 implique : $\gamma < 1$ (le vérifier). En sommant, il vient :

$$k < l \Rightarrow \|x_l - x_k\| \leq \sum_{m=k}^{l-1} \gamma^m \|x_1 - x_0\| \leq \frac{\gamma^k}{1 - \gamma} \|x_1 - x_0\|$$

qui montre que x_k est une suite de Cauchy de points de S_0 , donc converge vers un point x^* de S_0 .

Finalemment : $\|x_{k+1} - x_k\| = \text{pas} \star \|\nabla f(x_k)\|$ implique, par continuité du gradient : $\nabla f(x^*) = 0$, et, lorsque : $\text{pas} = \frac{2}{K + c}$, alors : $\gamma = \frac{K - c}{K + c}$, et :

$$\|x_0 - x^*\| \leq \frac{1}{1 - \gamma} \|x_1 - x_0\| = \frac{\text{pas}}{1 - \gamma} \|\nabla f(x_0)\| = c^{-1} \|\nabla f(x_0)\|$$

ce qui achève la démonstration. □

6.5 Algorithme de gradient à pas optimal

L'algorithme du gradient à pas optimal combine la stratégie de Cauchy pour la détermination de la direction de descente avec, à chaque étape, une recherche du pas optimal minimisant : $\varphi(t) = f(x + tu)$, où : $u = -\nabla f(x)$ est la direction de descente au point x :

```

GradOpt( $f, x_0, \text{pas}, \text{tolerance}$ )
 $x \leftarrow x_0$ 
Tant que :  $\|\nabla f(x)\| > \text{tolerance}$ 
     $u = -\nabla f(x)$ 
    Calculer le pas optimal  $t^*$ 
     $x \leftarrow x + t^* \star u$ 
Retourner  $x$ 
    
```

La recherche du pas optimal minimise $\varphi(t)$ en deux étapes. La première est la phase de « bracketing » : elle détermine un intervalle $[0, T]$ contenant le pas optimal t^* :

```

StepBracket( $\varphi$ )
 $T \leftarrow 1$ 
Tant que :  $\varphi(T) < \varphi(0)$ 
     $T \leftarrow 2T$ 
Retourner  $T$ 
    
```

Les conditions : $\varphi(T) \geq \varphi(0)$ et : $\varphi'(0) = \nabla f(x)^T u = -\|u\|^2 < 0$ garantissent alors que φ atteint son minimum en un point t^* de l'intervalle $[0, T]$.

La seconde étape est la phase de *recherche linéaire* : elle utilise une procédure de minimisation unidimensionnelle (Goldensearch, Quadsearch, ou Newtonsearch par exemple) pour déterminer une valeur approchée de t^* (chp. 4).

6.6 Convergence de l'algorithme de gradient à pas optimal

Théorème 6.3 *Si Ω est un bassin d'ellipticité de f , l'algorithme GradOpt converge, pour toute initialisation x_0 dans Ω vers l'unique minimum local x^* de f dans Ω , qui minimise f sur Ω . On a en outre les propriétés suivantes :*

- La suite des valeurs : $f_k = f(x_k)$ du critère aux points x_k construits par l'algorithme est strictement décroissante.
- Pour tout indice $k \geq 0$: $\|x_k - x^*\| \leq c^{-1} \|\nabla f(x_k)\|$, où c est une constante d'ellipticité de f sur l'ensemble $S_k = \{x \in \Omega \mid f(x) \leq f(x_k)\}$ de niveau f_k de f dans Ω .

Preuve : Par construction, la suite f_k est strictement décroissante. La suite infinie des points x_k éventuellement construite par l'algorithme reste donc, à partir de tout rang k , contenue dans l'ensemble convexe compact S_k . Puisque f est, par hypothèse, elliptique sur S_k , il existe des constantes c et K telles qu'en tout point x de S_k : $c Id \leq \nabla^2 f(x) \leq K Id$. Les hypothèses (H_1) et (H_2) du théorème 6.1 sont donc satisfaites. On en déduit, pour tout indice $k \geq 0$:

$$(2) \quad \|x_k - x^*\| \leq c^{-1} \|\nabla f(x_k)\| \quad \text{et} : \quad 0 < t < 2/K \Rightarrow [x_k, x_k - t \nabla f(x_k)] \subset S_0$$

Mais en appliquant alors la formule de Taylor-Lagrange à : $\varphi(t) = f[x_k - t \nabla f(x_k)]$ sur l'intervalle $[0, 1/K]$, il vient :

$$f\left[x_k - \frac{1}{K} \nabla f(x_k)\right] \leq f(x_k) - \frac{1}{K} \|\nabla f(x_k)\|^2 + \frac{1}{2K} \|\nabla f(x_k)\|^2$$

d'où, par définition du pas optimal :

$$(3) \quad f_{k+1} \leq f_k - \frac{1}{2K} \|\nabla f(x_k)\|^2$$

Finalement, la suite f_k est décroissante et minorée par $f(x^*)$, donc convergente, et (3) implique alors la convergence de $\nabla f(x_k)$ vers 0, d'où, d'après (2), la convergence de x_k vers x^* .

□

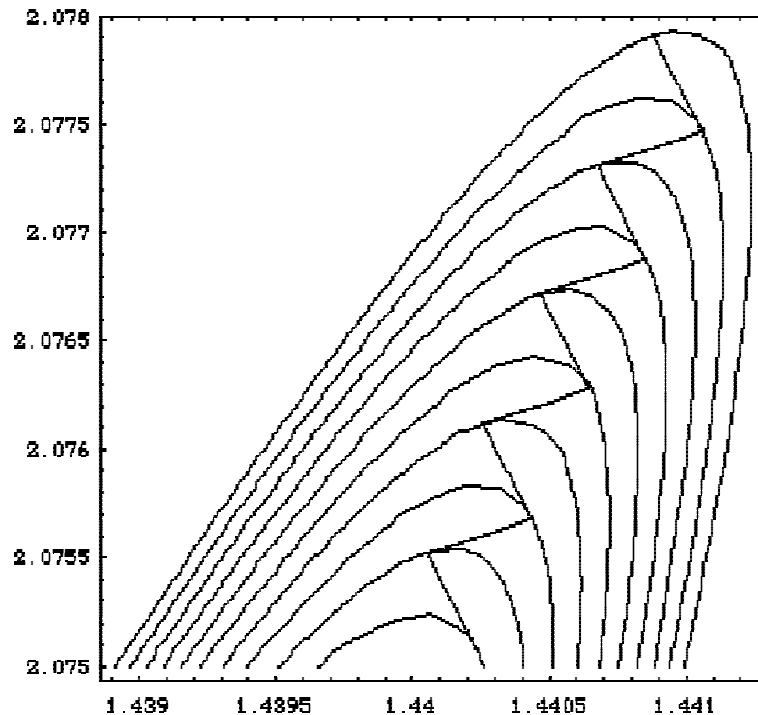


FIG. 6.7-1: Zig-zags caractéristiques de l’algorithme GradOpt

6.7 Comportement de l’algorithme de gradient à pas optimal

A la $k + 1^{\text{ème}}$ itération, l’algorithme GradOpt minimise la fonction : $\varphi(t) = f(x_k + t u_k)$, où : $u_k = -\nabla f(x_k)$. Si t_k est le pas optimal calculé, on a donc :

$$\varphi'(t_k) = \nabla f(x_k + t_k u_k)^T u_k = -\nabla f(x_k + t_k u_k)^T \nabla f(x_k) = 0$$

et le point x_{k+1} vérifie : $\nabla f(x_{k+1})^T \nabla f(x_k) = 0$.

Deux directions de descente successives calculées par l’algorithme sont ainsi *orthogonales* . La figure 6.7-1 illustre les zig-zags caractéristiques correspondants de l’algorithme GradOpt.

6.8 Comparaison avec l’algorithme de gradient à pas fixe

En pratique, l’algorithme de gradient à pas optimal s’avère souvent plus efficace que l’algorithme de gradient à pas fixe :

Exemple 6.4 *Le paramètre tolerance de la procedure GoldenSearch, utilisée pour la phase de recherche linéaire, étant fixé à 10^{-8} , il ne faut que 6 itérations à l’algorithme GradOpt, initialisé avec : $(x_0, y_0) = (1, 1)$, pour approcher le minimum $(0, 0)$ de : $f = x^2 + 100 y^2$ à 10^{-6} près (comparer avec l’utilisation catastrophique de GradFix dans l’exemple 6.3).*

Il est cependant difficile de comparer objectivement les deux algorithmes, et le contre-exemple suivant montre l'impossibilité d'établir théoriquement, et pour *toute* initialisation donnée, la supériorité de l'algorithme du gradient à pas optimal, même lorsque le critère est une forme quadratique elliptique simple :

Contre-exemple 6.5 *Si l'on cherche à minimiser : $f = x^2 + 2y^2$ à partir de toute initialisation (x_0, y_0) située sur la droite d'équation : $x = 2y$, en utilisant l'algorithme GradOpt, le pas optimal effectué à chaque étape est constant égal à $1/3$, et la vitesse de convergence linéaire de taux : $1/3$.*

Contrairement à l'algorithme du gradient à pas fixe, cependant, l'algorithme du gradient à pas optimal ne requiert aucun encadrement *a priori*, jamais disponible en pratique, des valeurs propres de la Hessienne du critère, et garantit, par nature, la décroissance du critère. C'est donc un algorithme à la fois simple à mettre en oeuvre et robuste.

6.9 Règle d'Armijo

Lorsque l'évaluation du critère en un point est compliquée, la procédure de recherche linéaire utilisée par l'algorithme de gradient à pas optimal peut se révéler coûteuse. L'idée suggérée par Armijo consiste à chercher un pas qui permette simplement de faire décroître *suffisamment* la valeur du critère. On se donne un réel α strictement compris entre 0 et 1, et on cherche un pas t vérifiant :

$$f(x + tu) < f(x) + \alpha t \nabla f(x)^T u$$

Théorème 6.4 *Si : $\nabla f(x)^T u < 0$, il existe un t^* tel que :*

$$0 < t < t^* \Rightarrow f(x + tu) < f(x) + \alpha t \nabla f(x)^T u$$

Preuve : Posons : $\psi(t) = f(x + tu) - f(x) - \alpha t \nabla f(x)^T u$, de sorte que : $\psi(0) = 0$, et :

$$\psi'(0) = (1 - \alpha) \nabla f(x)^T u < 0$$

Pour $t > 0$ suffisamment petit, on a donc : $\psi(t) < 0$, d'où le résultat. □

6.10 Recherche linéaire rapide

La procédure LinearSearch implémente la règle d'Armijo :

```

LinearSearch( $f, x, u, \alpha$ )
 $t \leftarrow 1$ 
Tant que :  $f(x + tu) \geq f(x) + \alpha \nabla f(x)^T u$ 
     $t \leftarrow \frac{-t \nabla f(x)^T u}{2 [f(x + tu) - f(x) - t \nabla f(x)^T u]}$ 
Retourner  $x + tu$ 
    
```

Théorème 6.5 *Si : $\alpha < 1/2$, LinearSearch retourne toujours un pas vérifiant la règle d'Armijo.*

Preuve : Si $f(x + tu) < f(x) + \alpha t \nabla f(x)^T u$, on accepte le pas $t = 1$. Sinon, on interpole $\varphi(t) = f(x + tu)$ par la parabole passant par les deux points $(0, f(x))$ et $(t, f(x + tu))$ dont le coefficient directeur de la tangente en $(0, f(x))$ est $\varphi'(0) = \nabla f(x)^T u$, et on actualise t à la valeur de l'abscisse du minimum de cette parabole. On vérifie que, si $\nabla f(x)^T u < 0$, cette stratégie d'actualisation de t conduit, à chaque étape, à remplacer t par un réel de l'intervalle $]0, \frac{1}{2} \frac{t}{1-\alpha} [$. Pour $\alpha < 1/2$, on réduit strictement la taille de l'intervalle $]0, t [$ à chaque étape. Le résultat est donc conséquence du théorème 6.4.

□